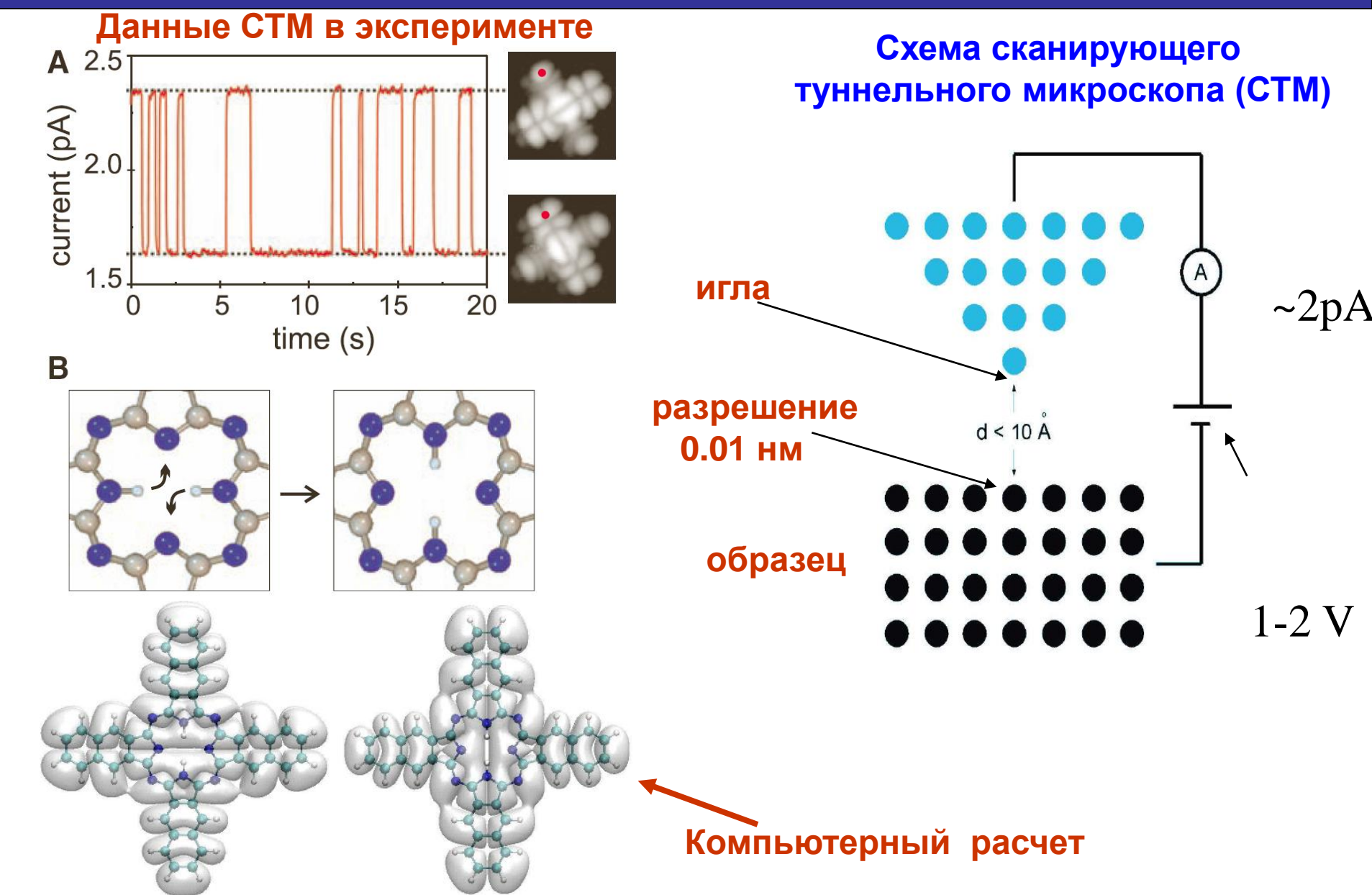
ВМК МГУ

Георгий Шумкин

Параллельные вычисления в квантовой молекулярной динамике

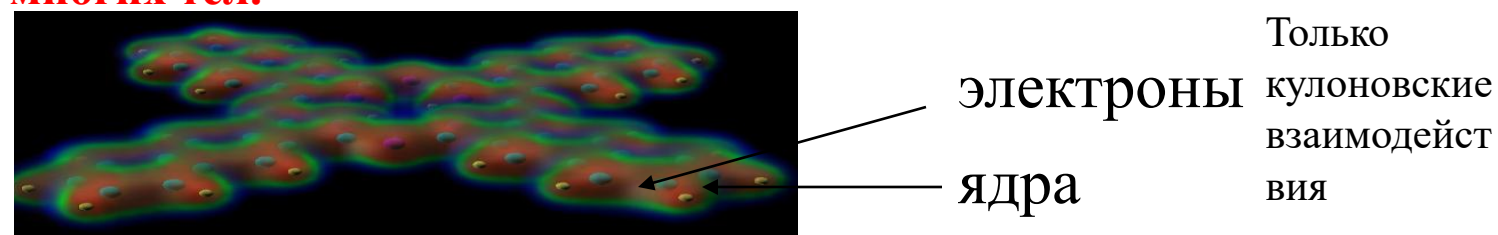
Моделирование молекулярного переключателя на основе одной молекулы. Последние эксперименты 2007 г., IBM, Цюрих.

Логический ключ с размером в молекулу.



Вычислительные модели "из первых принципов" для наносистем

• Молекулярная динамика из первых принципов FPMD— метод моделирования наносистем. Нет подгоночных параметров. Проблема многих тел.



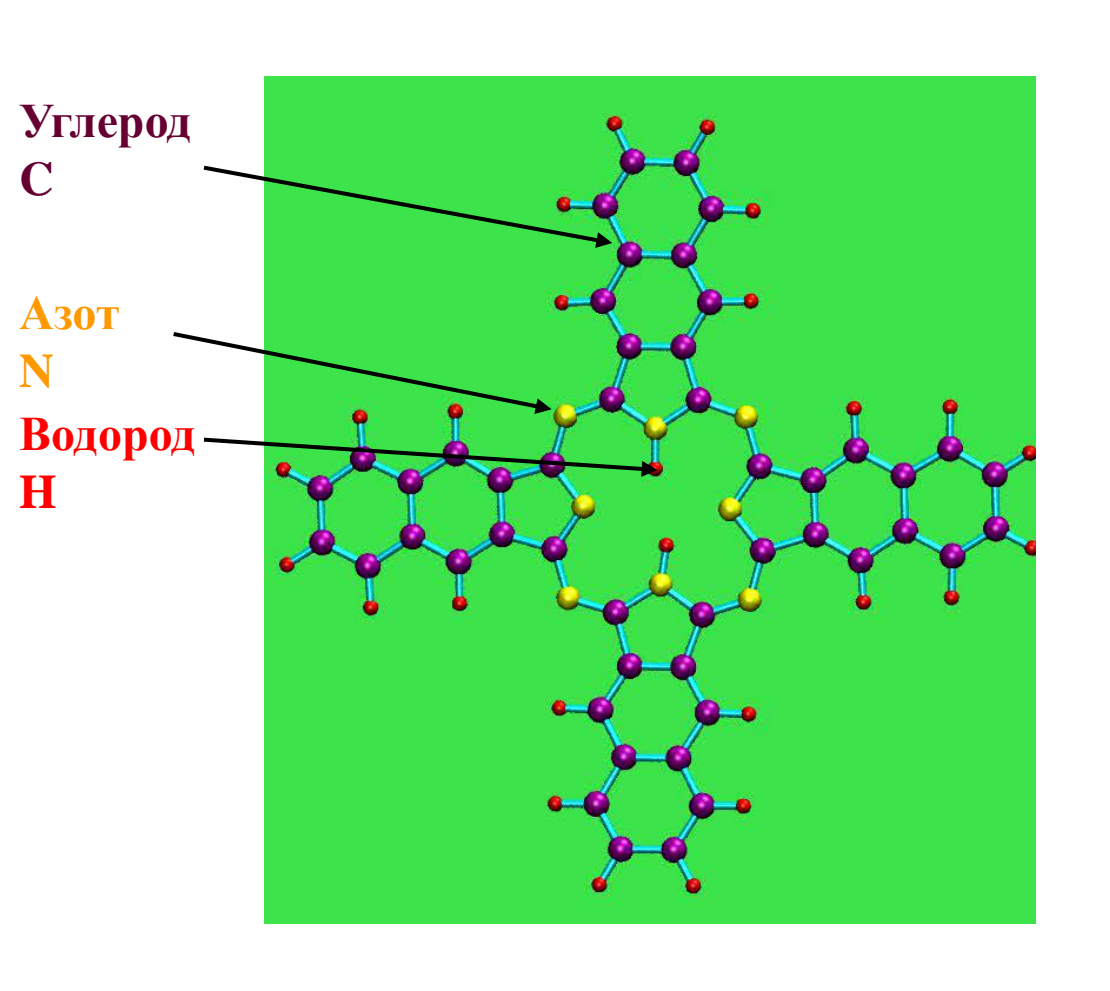
• Вычислительная проблема. Наномасштаб - мезомасштаб (атом – спл.среда)

Куб полиэтилена - размером 100nm — $64\ 10^6$ атомов Куб железа - в 1nm — 16000 атомов

- Квантовомеханическое описание электронов и классическое описание движения атомных ядер
- Подход требует использования суперкомпьютеров и эффективных параллельных вычислений для описания больших молекулярных систем ~ 25000 атомов.
- Масштабируемость FPMD кодов.

Глава II. Логический ключ с размером в молекулу.

IBM Blue Gene/Р установлен на ф-те ВМК МГУ, имеет 2048 узлов, 27.9 Тфлопс



Численные характеристики:

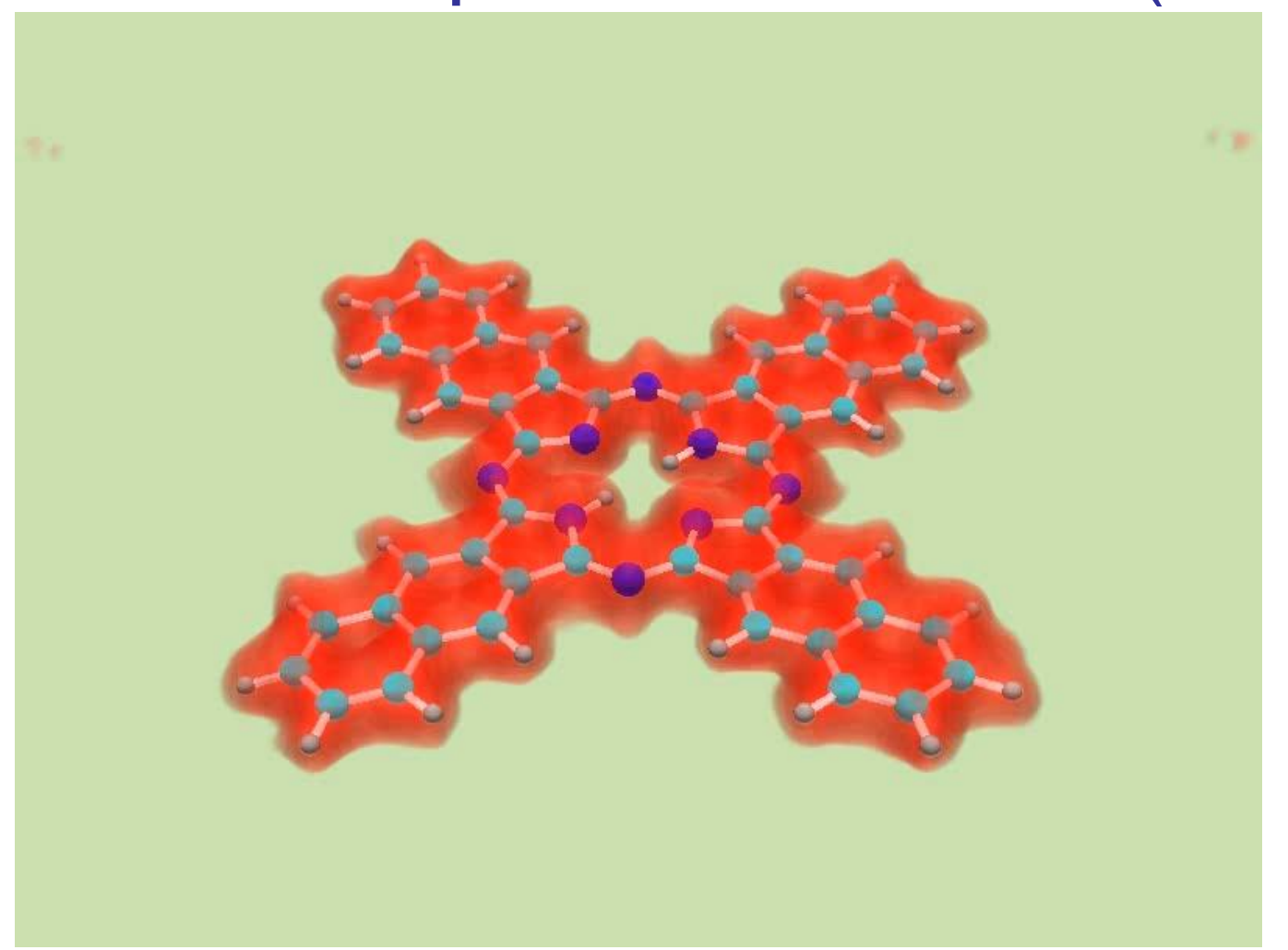
82 атома, 129 орбиталей, 540000 плоских волн для каждой электронной орбитали,

шаг по времени = 0.1125 фс, сетка: 320x320x192

размер ячейки: 30х30х18 Å

Время вычислений на 512 узлах BG/P — 20 часов.

Параллельная визуализация в реальном времени на BG/P (МГУ)

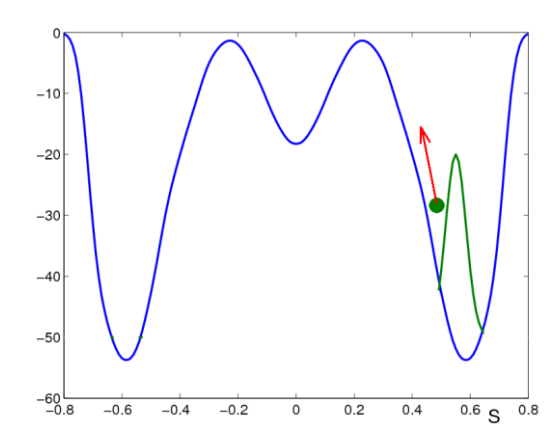


О. В. Джосан, Н. Н. Попова, Г.Н. Шумкин (ВМК)

Вычисление профиля поверхности свободной энергии методом Метадинамики

Свободная энергия

$$F = -k_B T \ln \left(\int \exp \left(-\frac{U(\{\mathbf{R}_I\})}{k_B T} \right) d\{\mathbf{R}_I\} \right)$$



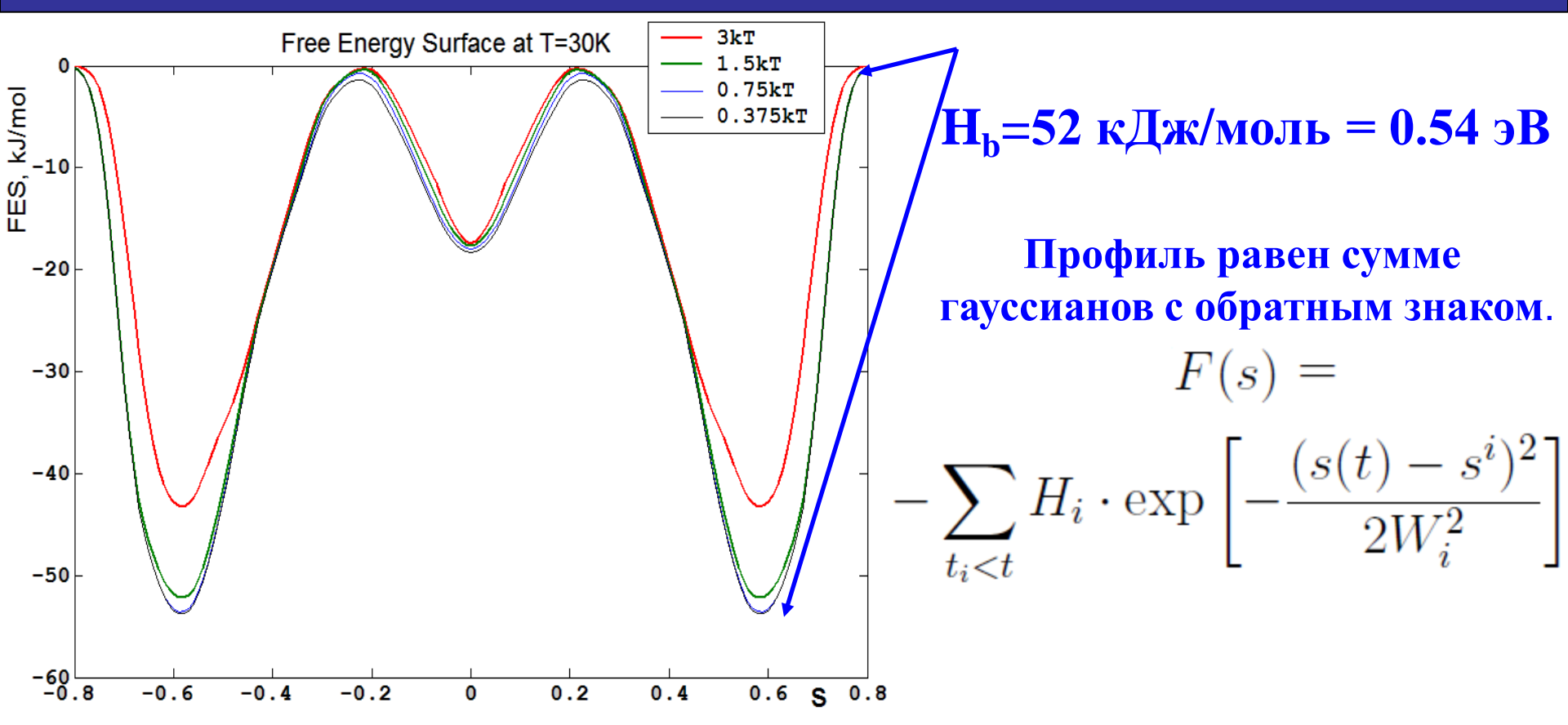
Уравнения Метадинамики

$$\mu \ddot{\mathbf{s}} = -k(\mathbf{s} - S(\{\mathbf{R}_J\})) - \frac{\partial}{\partial \mathbf{s}} V(\mathbf{s}, t)$$
$$M_I \ddot{\mathbf{R}}_I = -\nabla_{\mathbf{R}_I} U(\mathbf{R}_I) - \frac{\partial S(\{\mathbf{R}_J\})}{\partial \mathbf{R}_I} k(S(\{\mathbf{R}_J\}) - \mathbf{s}).$$

Стохастический немарковский метод Метадинамики позволяет строить поверхность свободной энергии вдоль выбранной координационной переменной, определяющее главное направление реакции

$$V(\mathbf{s},t) = -\sum_{t_i < t} H_i \cdot \exp\left[-\frac{(\mathbf{s}(t) - \mathbf{s}^i)^2}{2W_i^2}\right] \qquad s = \sum_{i,j \in A} \frac{1 - (r_{ij})^6}{1 - (r_{ij})^{12}}$$

Расчет профиля поверхности свободной энергии методом "Метадинамики"

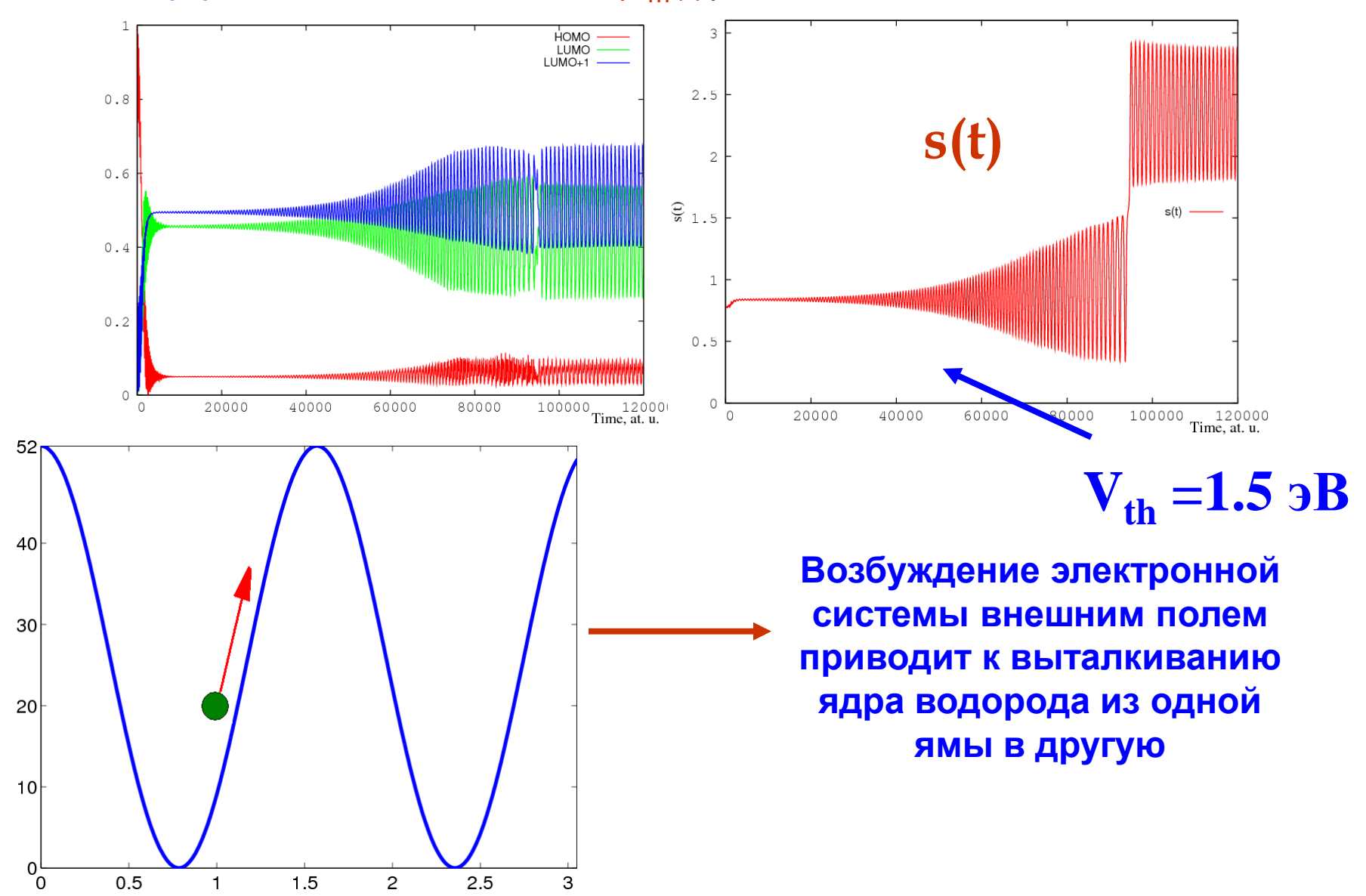


Сходимость достигнута путем проведения последовательных расчетов с уменьшающейся высотой гауссиана.

3kT=0.75 кДж/моль, T=30K.

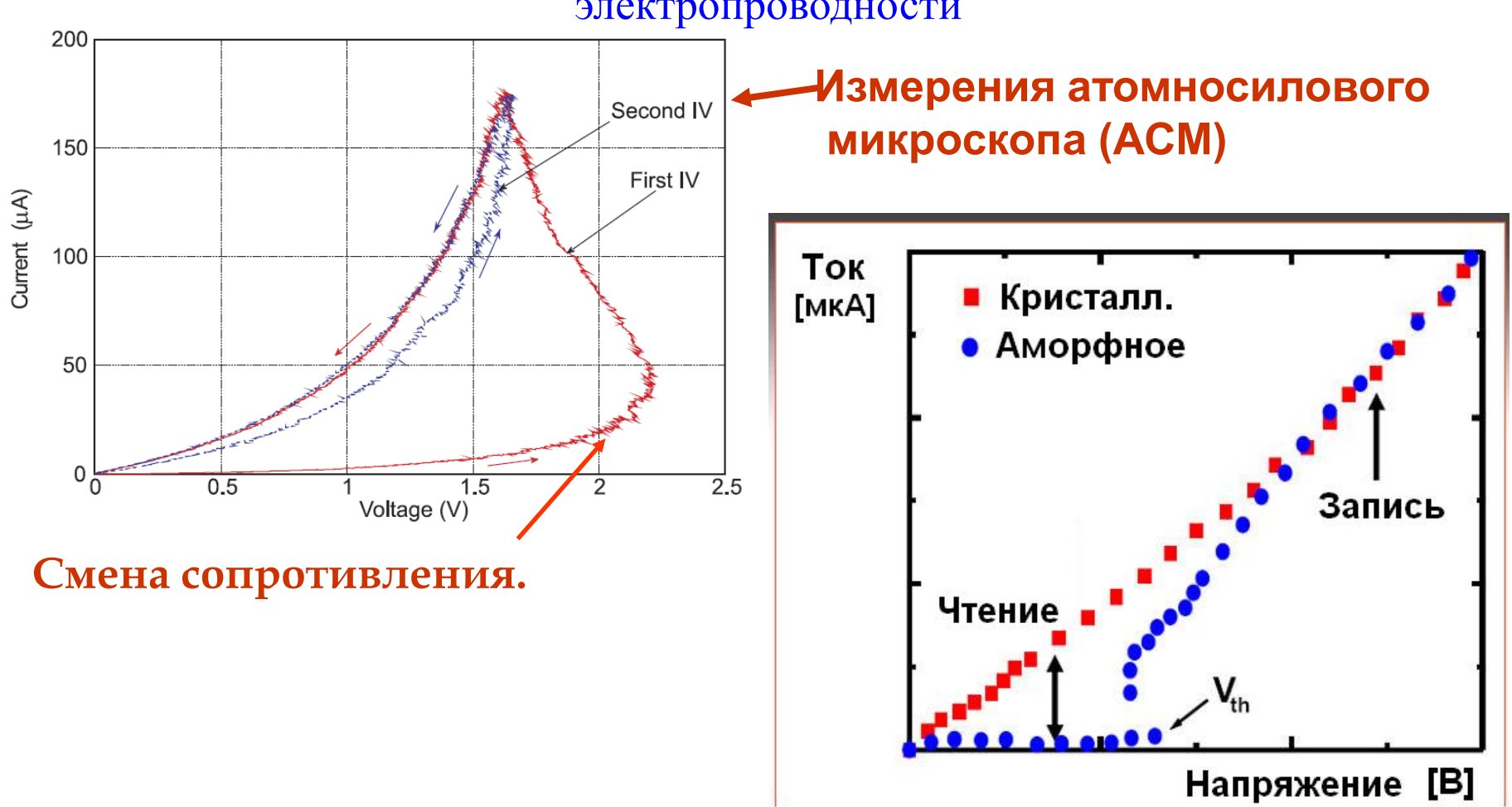
Расчеты по многомасштабной модели





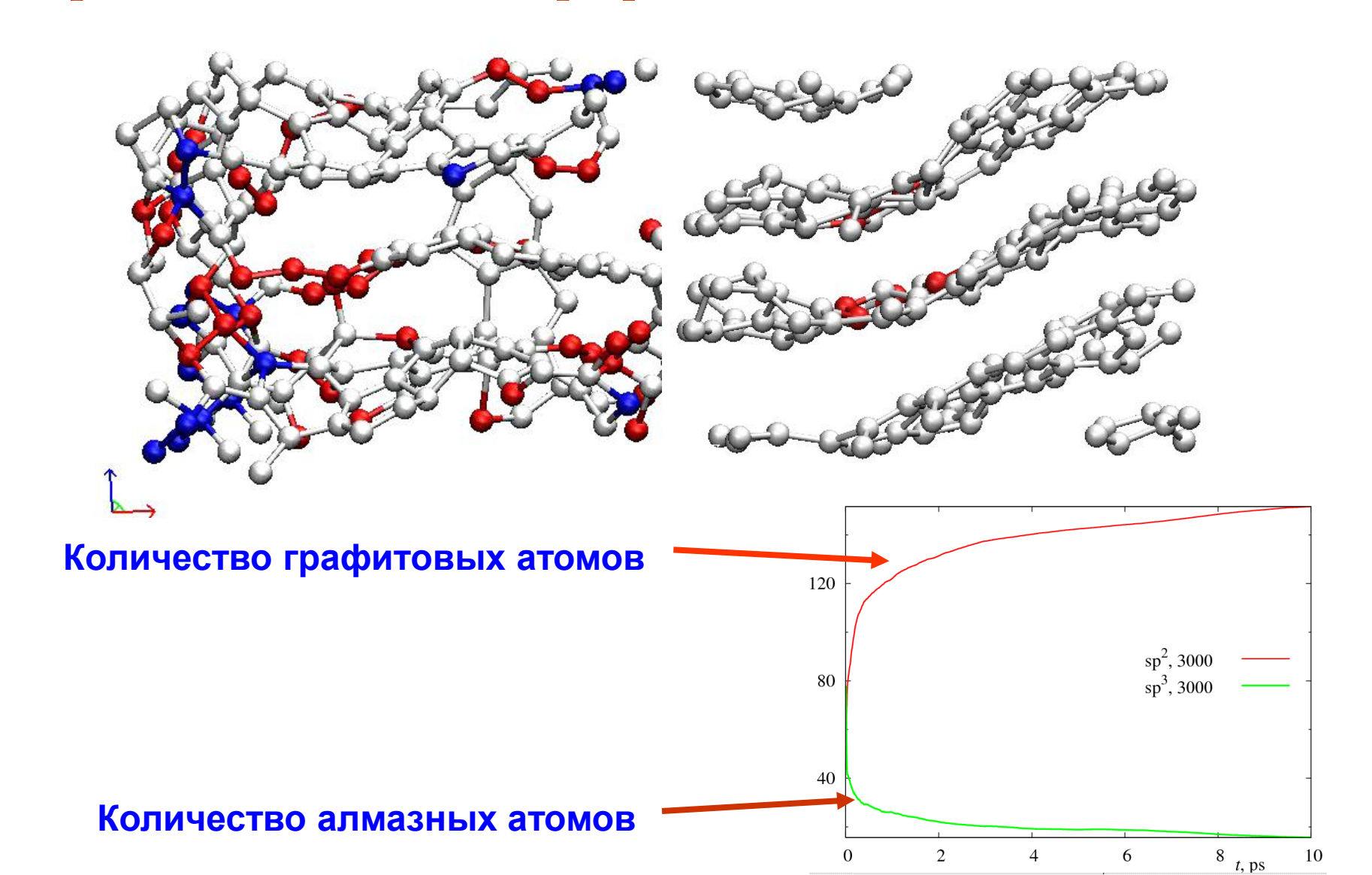
Глава III. Моделирование переключения электропроводности в нанопленке аморфного углерода

Под воздействием тока АСМ происходит смена аморфной структуры углерода в кристаллическую в наноточке, что ведет к переключению электропроводности



Моделирование переключения сопротивления в нанопленке аморфного углерода

Временная эволюция графитовых и алмазных атомов



Модели квантовой молекулярной динамики из "первых принципов".

Уравнения движения ядер в усредненном поле электронов:

$$M_{I}\ddot{\mathbf{R}}_{I}(t) = -\sum_{I} \nabla_{\mathbf{R}_{I}} \frac{Z_{I}Z_{J}}{|\mathbf{R}_{I} - \mathbf{R}_{J}|} + \int \rho(\mathbf{r}) \nabla_{\mathbf{R}_{I}} \frac{Z_{I}}{|\mathbf{R}_{I} - \mathbf{r}|} d\mathbf{r}$$

Для каждого нового положения ядер требуется решать уравнение Шредингера для электронов, чтобы найти электронную плотность в *основном состоянии*.

$$\rho(\mathbf{r}) = \sum_{n=1}^{\infty} |\psi_n(\mathbf{r})|^2$$

$$\left(-\frac{1}{2}\Delta + U_{eff}(\rho, \mathbf{r})\right) \psi_n(\mathbf{r}) = \epsilon_n \psi_n(\mathbf{r})$$

$$\Delta U_H = -4\pi\rho$$

 $U_{eff}(\rho, \mathbf{r}) = U_H(\rho, \mathbf{r}) + U_{xc}(\rho, \nabla \rho, \mathbf{r}) - \sum_{I} \frac{Z_I}{|\mathbf{R}_I - \mathbf{r}|} + \sum_{I \leq I} \frac{Z_I Z_J}{|\mathbf{R}_I - \mathbf{R}_J|}$

Численное решение задачи

Методы численного решения

- 1. Уравнения Ньютона для ядер интегрируются алгоритмом Верлета.
- 2. Уравнения для электронов нелинейная задача на собственные значения.
- 3. Электронные орбитали раскладываются в ряд Фурье. Для преобразования величин между двумя пространствами используется быстрое преобразование Фурье (БПФ).

$$\psi_n(\mathbf{r},t) = \frac{1}{\sqrt{\Omega}} \sum_{\mathbf{k}} c_{n,\mathbf{k}}(t) e^{i\mathbf{k}\mathbf{r}}$$

Схема численного решения

$$\psi_{n}^{0}(\mathbf{r}) \qquad \qquad \epsilon_{n}^{1} c_{n,\mathbf{k}}^{1} \xrightarrow{\mathbf{b}\Pi\Phi} \psi_{n}^{1}(\mathbf{r}) \rightarrow \rho(\mathbf{r})$$

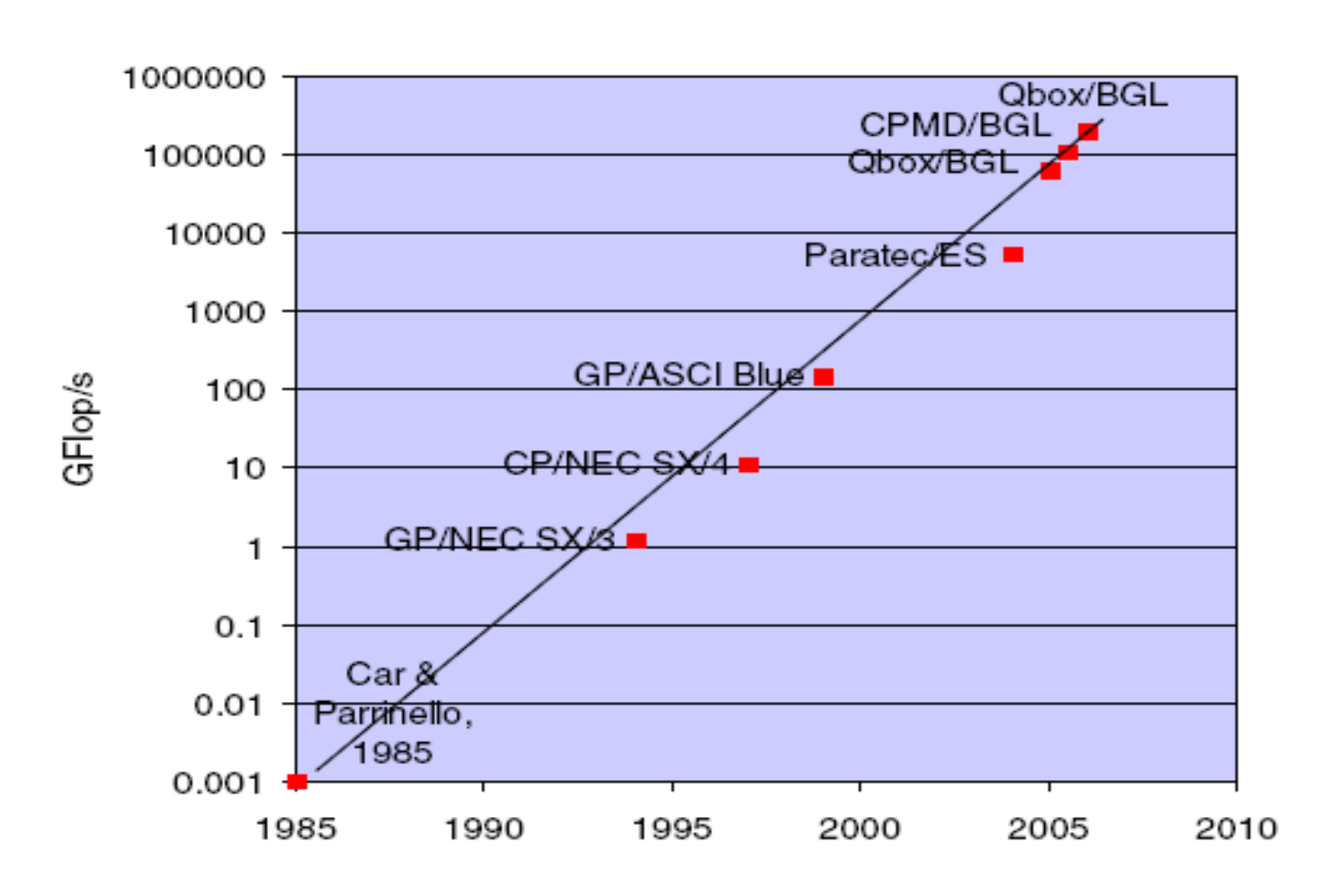
$$\rho_{\mathbf{0}}(\mathbf{r}) \rightarrow U_{eff}(\rho, \mathbf{r}) \psi_{n}^{0}(\mathbf{r}) \xrightarrow{\mathbf{b}\Pi\Phi} \mathbf{H}(\mathbf{k})$$

Параллельная программа на BlueGene/P.

Задача сводится к интегрированию 200 уравнений для ядер и решению 400 трехмерных задач для электронов.

Время одного расчета на 512 узлах BlueGene/P занимает ≈ 20 часов Использование гибридной схемы распараллеливания MPI/OpenMP

Эволюция производительности (GFlop/s) FPMD кодов в течении последних двух десятилетий. Удвоение производительности каждые восемь месяцев



Параллельные стратегии. Несколько уровней распараллеливания

• **Крупноблочное распараллеливание** на распределенной памяти **MPI** – распределение коэффициентов волновых функций для всех электронных состояний на все процессоры.

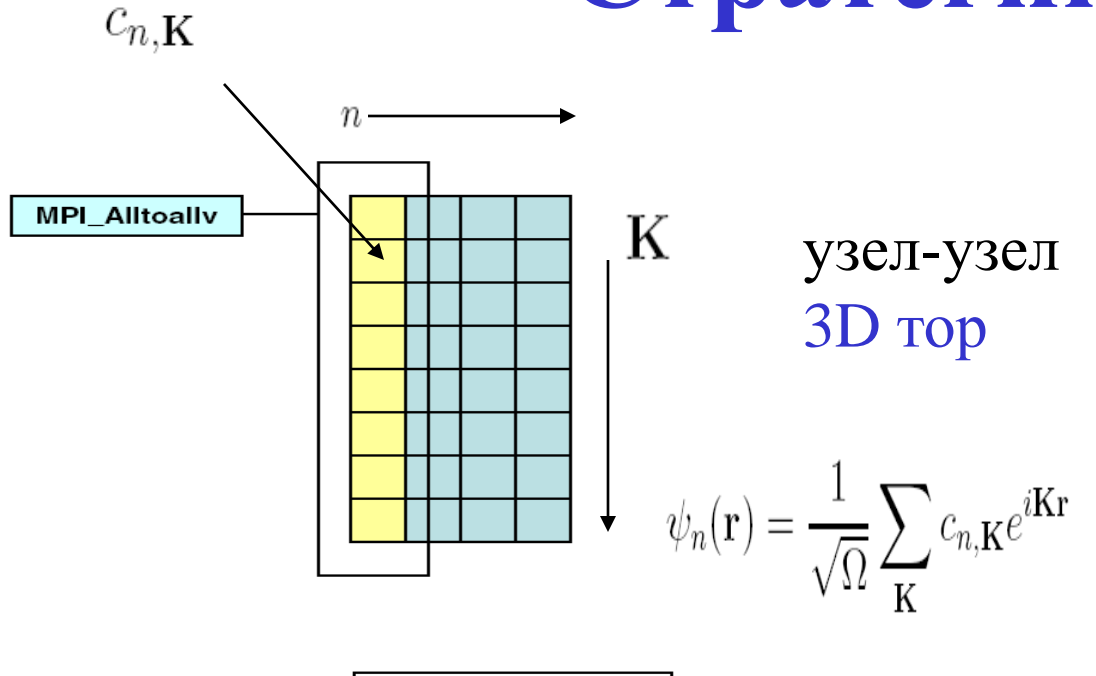
3dFFT Реальное пространство К-пространство

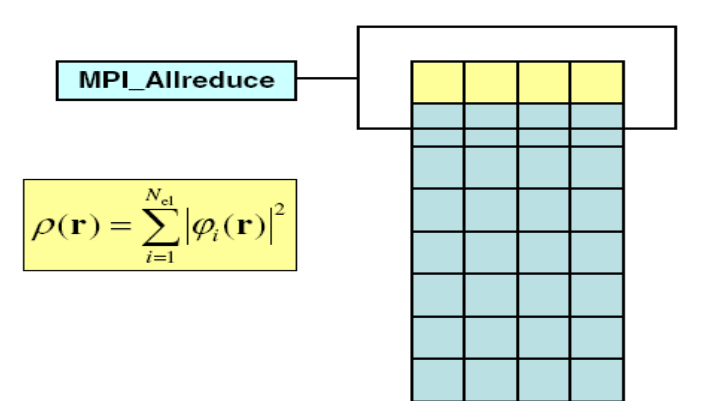
Распределение данных минимизирует число передач с поддержанием загрузки в обоих пространствах.

- OpenMP распараллеливание с общей памятью на узле. Длинные циклы.
- **Taskgroups** группы процессоров. Процессоры организованы как двумерная сетка. Схема требует в два раза меньше коммуникаций, чем обычная схема. Процессорные группы могут быть оптимально распределены по тору.
- **Методы копирования**. Интегралы по траекториям в молекулярной динамике. Квантовые ядра. Многомерная метадинамика.

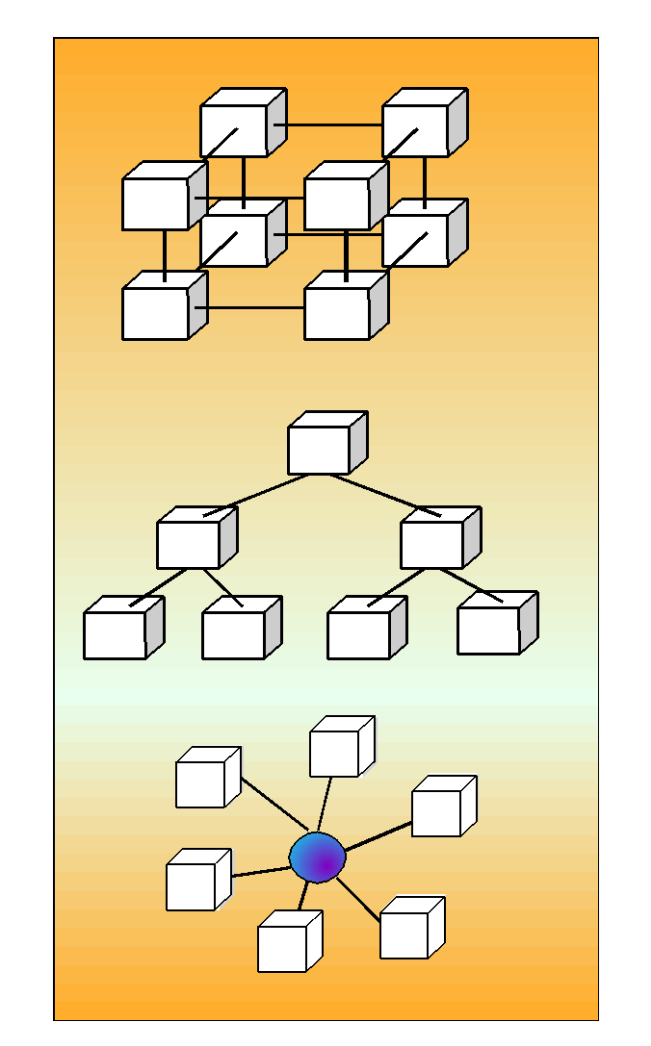
Стратегии

Коммуникации в BGP





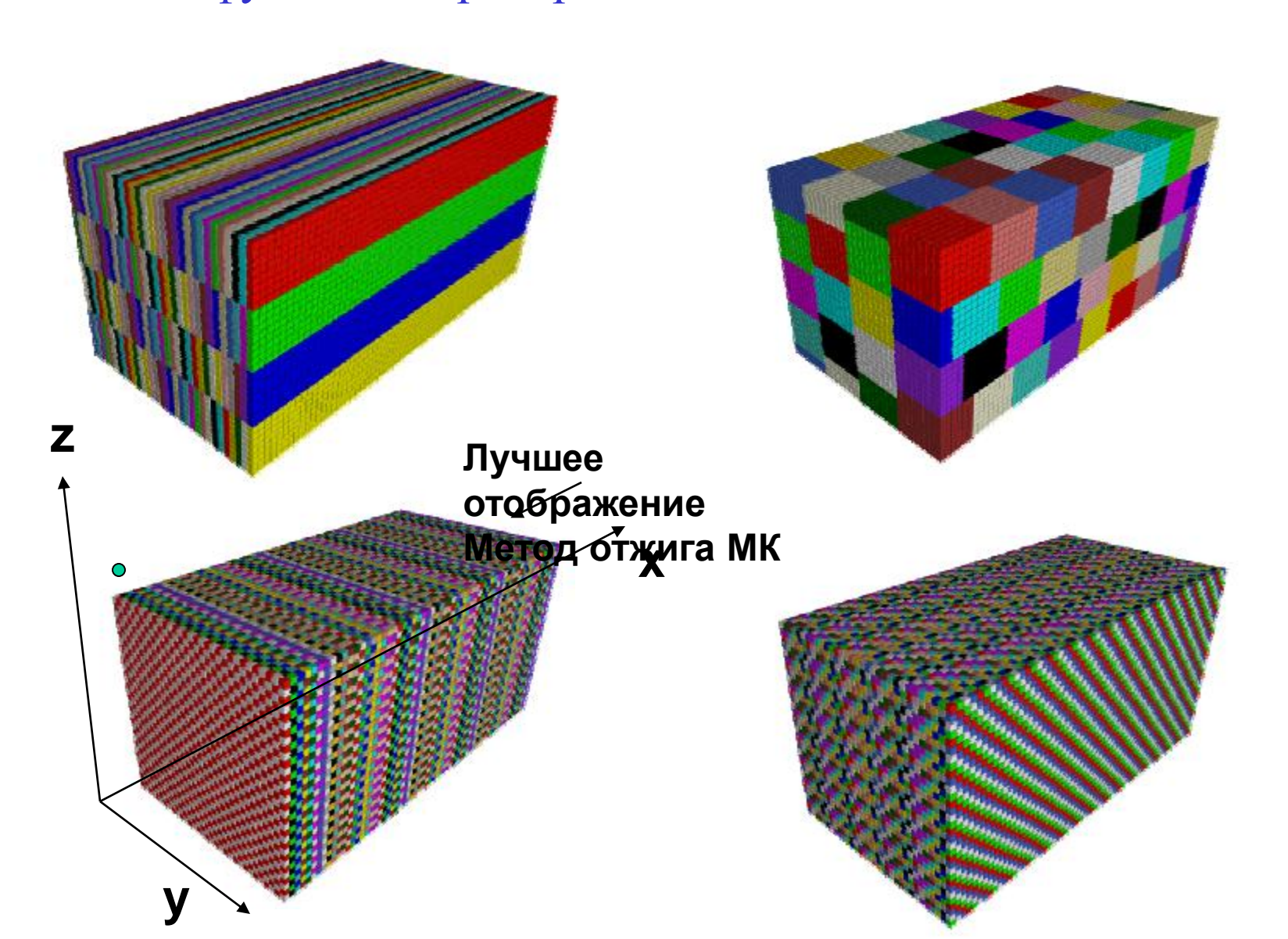
коллективные дерево



Отражение задач на архитектуру суперкомпьютера

- Blue Gene/P. Архитектура трехмерного тора дополненная сетью дерева
- Возникают условия на дизайн FPMD кодов
- Для P< 1024 (BGP) проблема неважна
- Для P=65536 (BGL) хороший выбор отображения дает 60% ускорения
- Оптимизация отображения N! отображений.
- Проблема использования параллельных библиотек (ScaLAPACK). Узлы не под контролем кода моделирования
- Оптимизация критическая процедура для больших разбиений
- Разработка удобных программ для визуализации трафика сообщений на сети тора. Создание автоматизированных процедур отображения
- Оптимизированный код Qbox показал производительность **207 TFlop/s** (наивысшая производительность на научных приложениях). Blue Gene/L F. Gygi, Qbox

Блочное распределение коэффициентов Фурье волновых функций. Пространственная декомпозиция.



Производительность CPMD на Blue Gene/P

- **CPMD** масштабируется до 128000 процессоров
- 100 атомов масштабируются до 2000 процессоров с 70% эффективности и длительностью производственного цикла ~ 600рs/неделя (МГУ)
- Для систем ~1000 атомов масштабируется на 8000-16000 процессоров с эффективностью 80% и длительностью производственного цикла ~ 20 рѕ/неделя
- Наибольшая система в настоящий момент **20000** атомов на 16 стойках.

A. Curioni Parallel Computing, 2006-2008

http://www.zurich.ibm.com/deepcomputing